

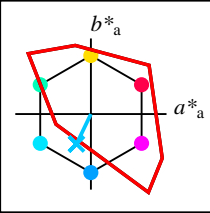
Entrée et sortie: Système Télévision Lumicie TLS00a pour la teinte CIELAB relative $h_{ab,a,rel} = h_{ab}/360 = 244/360 = 0.67$

$H^*_e = G75B_e$

Données de couleurs périphériques (d)

ou élémentaires (e):

HIC^*_e
code de teinte pour les couleurs de cette page:
 $H^*_e = G75B_e$
triangle de luminosité T^*



TLS00a; données CIELAB (a) adaptées

| nom | $L^*=L^*_a$ | a^*_a | b^*_a | $C^*_{ab,a}$ | $h^*_{ab,a}$ |
|---------------------|-------------|---------|---------|--------------|--------------|
| R _{e, Ma} | 50.9 | 78.3 | 37.3 | 86.7 | 25 |
| Y _{e, Ma} | 83.7 | -3.4 | 84.5 | 84.5 | 92 |
| G _{e, Ma} | 85.1 | -64.6 | 20.7 | 67.9 | 162 |
| C _{e, Ma} | 79.0 | -34.2 | -25.7 | 42.8 | 216 |
| B _{e, Ma} | 59.2 | 1.7 | -56.6 | 56.6 | 271 |
| M _{e, Ma} | 57.1 | 94.1 | -57.4 | 110.3 | 328 |
| N _{e, Ma} | 0.0 | 0.0 | 0.0 | 0.0 | 0 |
| W _{e, Ma} | 95.4 | 0.0 | 0.0 | 0.0 | 0 |
| R _{e, CIE} | 39.9 | 58.7 | 27.9 | 65.0 | 25 |
| Y _{e, CIE} | 81.2 | -2.8 | 71.5 | 71.6 | 92 |
| G _{e, CIE} | 52.2 | -42.4 | 13.6 | 44.5 | 162 |
| B _{e, CIE} | 30.5 | 1.4 | -46.4 | 46.4 | 271 |

Les données de couleur maximale (Ma):

$LabCh^*_{e, Ma}: 70 \ -19 \ -39 \ 43 \ 244$

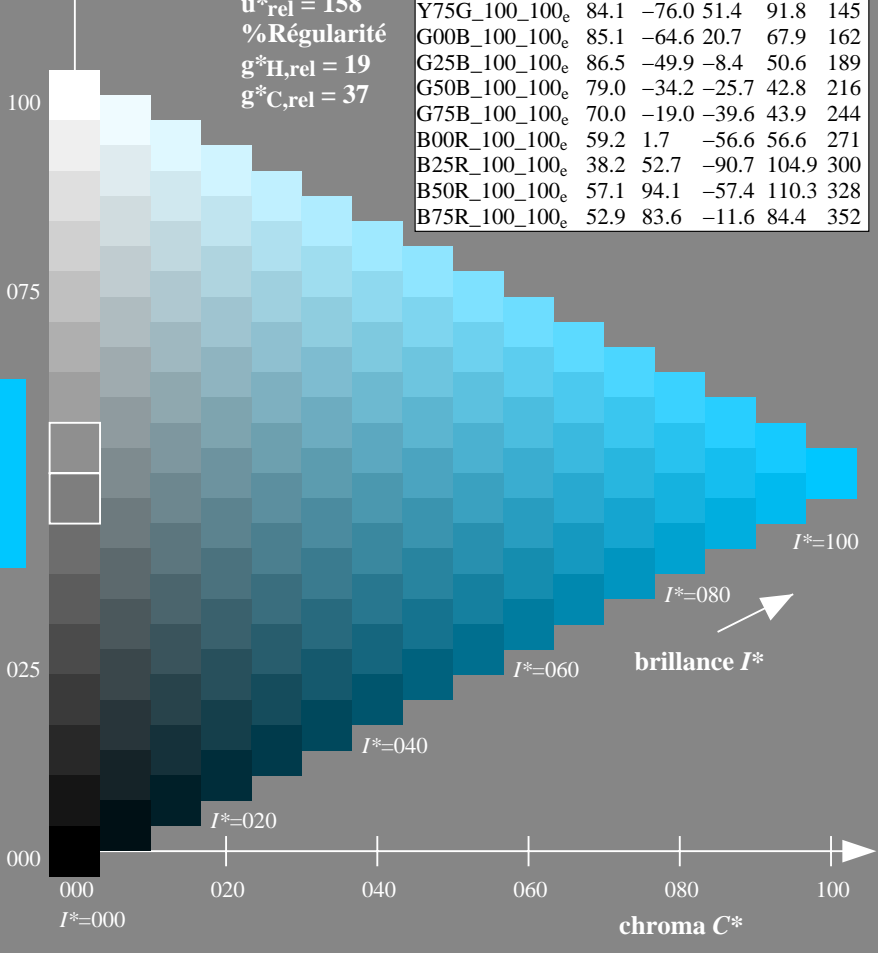
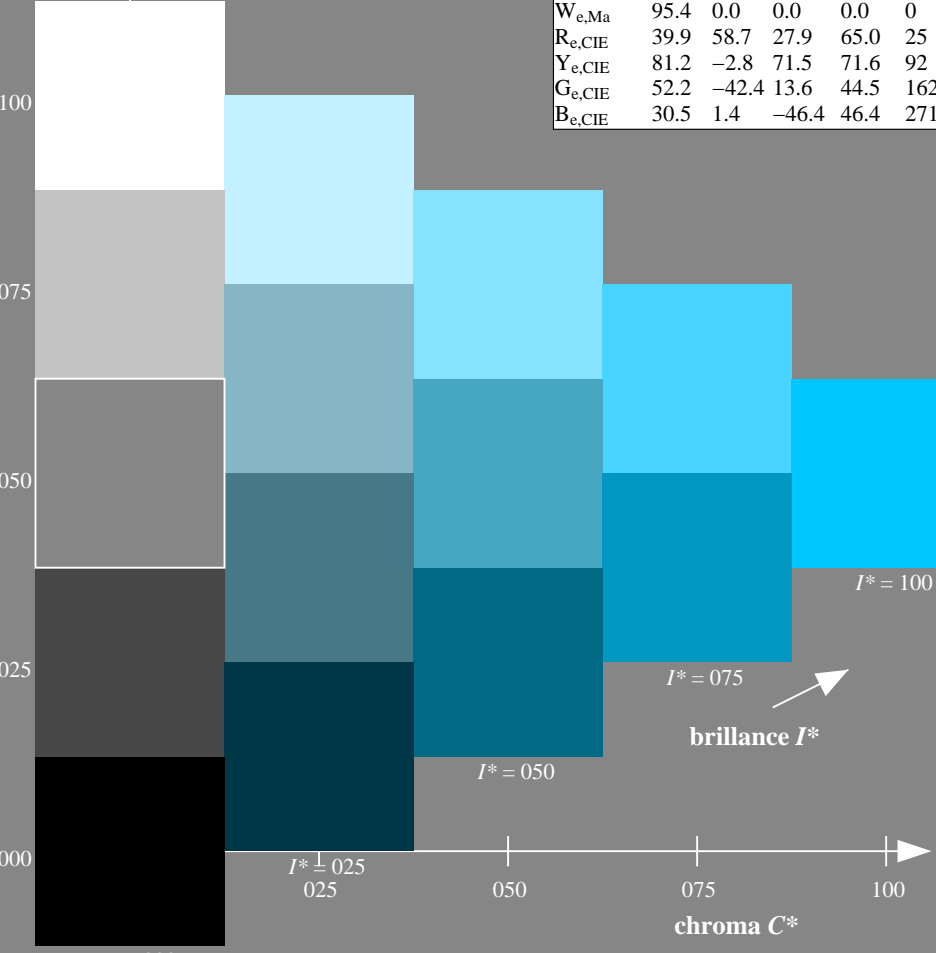
$HIC^*_{e, Ma}: G75B_100_100_e$

$rgbic^*_{e, Ma}: 0.0 \ 0.76 \ 1.0 \ 1.0 \ 1.0$

triangle de luminosité T^*

TLS00a; données CIELAB (a) adaptées

| H^*_e | $L^*=L^*_a$ | a^*_a | b^*_a | $C^*_{ab,a}$ | $h^*_{ab,a}$ |
|---------------------------|-------------|---------|---------|--------------|--------------|
| R00Y_100_100 _e | 50.9 | 78.3 | 37.3 | 86.7 | 25 |
| R25Y_100_100 _e | 51.3 | 74.4 | 64.8 | 98.7 | 41 |
| R50Y_100_100 _e | 63.1 | 42.7 | 70.8 | 82.7 | 58 |
| R75Y_100_100 _e | 73.5 | 18.3 | 77.7 | 79.8 | 76 |
| Y00G_100_100 _e | 83.7 | -3.4 | 84.5 | 84.5 | 92 |
| Y25G_100_100 _e | 91.0 | -29.9 | 88.9 | 93.8 | 108 |
| Y50G_100_100 _e | 85.9 | -63.0 | 82.8 | 104.1 | 127 |
| Y75G_100_100 _e | 84.1 | -76.0 | 51.4 | 91.8 | 145 |
| G00B_100_100 _e | 85.1 | -64.6 | 20.7 | 67.9 | 162 |
| G25B_100_100 _e | 86.5 | -49.9 | -8.4 | 50.6 | 189 |
| G50B_100_100 _e | 79.0 | -34.2 | -25.7 | 42.8 | 216 |
| G75B_100_100 _e | 70.0 | -19.0 | -39.6 | 43.9 | 244 |
| B00R_100_100 _e | 59.2 | 1.7 | -56.6 | 56.6 | 271 |
| B25R_100_100 _e | 38.2 | 52.7 | -90.7 | 104.9 | 300 |
| B50R_100_100 _e | 57.1 | 94.1 | -57.4 | 110.3 | 328 |
| B75R_100_100 _e | 52.9 | 83.6 | -11.6 | 84.4 | 352 |



% Gamme
 $u^*_{rel} = 158$
% Régularité
 $g^*_{H, rel} = 19$
 $g^*_{C, rel} = 37$